

Лабораторная работа 3.7.3

Длинные линии

Выполнил Жданов Елисей Б01-205

1 Цель работы:

Ознакомится и проверить на практике теорию распространения электрических сигналов вдоль длинной линии; измерить амплитудо- и фазово-частотные характеристики коаксиальной линии; определить погонные характеристики такой линии; на примере модели длинной линии изучить вопрос распределения амплитуды колебаний сигнала по длине линии.

2 Оборудование:

Осциллограф АКТАКОМ ADS-6142Н; генератора АК ИП 3420/1; бухта с коаксиальным кабелем РК 50-4-11; схематический блок "модель длинной линии"; магазин сопротивления РЗЗ, соединительные провода

3 Теоретическая справка

Рассмотрим элемент dx длинного коаксиального кабеля. Этот элемент представляет собой изолированный коаксиальный проводящий (медный) цилиндр некоторого радиуса r_2 , на оси которого расположен сплошной тонкий проводник (медный) круглого сечения с радиусом r_1 . Пространство между этими проводниками заполнена средой, обладающей диэлектрической проницаемостью ϵ и магнитной восприимчивостью μ . Как известно, такой элемент обладает индуктивностью

$$dL = 2\mu \ln(r_2/r_1) dx.$$

Удельная (погонная) индуктивность единицы длины такого кабеля:

$$L_x = \frac{dL}{dx} = 2\mu \ln(r_2/r_1).$$

Два проводника, образующих этот элемент dx коаксиального кабеля, должны обладать взаимной ёмкостью. Можно показать, что ёмкость элемента dx коаксиального кабеля определяется выражением:

$$dC = \frac{\varepsilon}{2 \ln(r_2/r_1)} dx,$$

а его удельная (погонная) ёмкость единицы длины равна:

$$C_x = \frac{dC}{dx} = \frac{\varepsilon}{2 \ln(r_2/r_1)}.$$

Когда по такому кабелю передаётся сигнал, в его центральной жиле и внешней оболочке возникают взаимно противоположные токи $I(x)$, а также электрическое напряжение $U(x)$ между внешним и внутренним проводниками. При высоких частотах ν сигналов, распространяющихся в кабеле (когда длина кабеля $l > V/\nu$, где V - характерная скорость распространения сигнала в кабеле, эта скорость, как правило, порядка скорости света) $I(x)$ и $U(x)$ вообще говоря зависят от координаты x .

Изменение напряжения на концах элемента dx вызваны возникновением ЭДС индукции и падением напряжения в результате омического сопротивления проводников:

$$U(x + dx) - U(x) = -\frac{L_x dx}{c^2} \frac{\partial I}{\partial t} - R_x dx I,$$

где погонное сопротивление

$$R_x = \frac{dR}{dx} = \frac{1}{\sigma \cdot S}$$

здесь σ - удельная проводимость материала проводников, S - площадь их поперечного сечения.

Изменение силы тока вызвано тем, что некоторая часть электрического заряда q как бы "перетекает" на "обкладку" конденсатора, роль которых играют проводники коаксиального кабеля:

$$I(x + dx) - I(x) = -\frac{\partial q}{\partial t},$$

где $q = C_x dx U$. Представим уравнения (5) и (7) в виде системы, описывающей распространение сигнала вдоль длинной линии:

$$\begin{cases} U(x) = U(x + dx) + \frac{L_x dx}{c^2} \frac{\partial I}{\partial t} + R_x dx I, \\ I(x) = I(x + dx) + \frac{\partial q}{\partial t}. \end{cases}$$

Эту систему уравнений называют телеграфными уравнениями. Разделим оба уравнения на длину элемента dx и, воспользовавшись определением дифференциалов, перепишем (8) следующим образом

$$\begin{cases} \frac{\partial I}{\partial x} = -C_x \frac{\partial U}{\partial t} \\ \frac{\partial U}{\partial x} = -\frac{L_x}{c^2} \frac{\partial I}{\partial t} - R_x I \end{cases}$$

Из (9) выразим перекрёстные производные:

$$\begin{cases} \frac{\partial^2 I}{\partial x \partial t} = -C_x \frac{\partial^2 U}{\partial t^2}, \\ \frac{\partial^2 U}{\partial x^2} = -\frac{L_x}{c^2} \frac{\partial^2 I}{\partial x \partial t} - R_x \frac{\partial I}{\partial x}. \end{cases}$$

Из (9) и (10) получаем волновое уравнение для напряжения $U(x)$

$$\frac{\partial^2 U}{\partial x^2} = \frac{L_x C_x}{c^2} \frac{\partial^2 U}{\partial t^2} + R_x C_x \frac{\partial U}{\partial t}.$$

Или в каноническом виде:

$$\frac{\partial^2 U}{\partial t^2} - V_\phi^2 \frac{\partial^2 U}{\partial x^2} + \gamma \frac{\partial U}{\partial t} = 0,$$

где введены следующие обозначения для фазовой скорости:

$$V_\phi = \frac{c}{\sqrt{L_x C_x}},$$

и декремента затухания: $\gamma = R_x C_x V_\phi^2$. (14)

Подставляя (2) и (4) в выражение для фазовой скорости (13), легко видеть, что, эта скорость имеет тот же вид, как и скорость распространения обычных электромагнитных волн в некоторой среде с диэлектрической проницаемостью ε и магнитной восприимчивостью μ :

$$V_\phi = \frac{c}{\sqrt{q l}}$$

Решение (12) удобно искать в виде:

$$U(x, t) = U_0 e^{-i \alpha t} e^{(-\alpha + i k)x}.$$

Из первого уравнения системы (9) легко установить характер изменения силы тока в длинной линии:

$$I(x, t) = U_0 \frac{C_x \omega}{k + i \alpha} e^{-i \alpha t} e^{(-\alpha + i k)x}$$

Из (16) и (17) видно, что отношение силы тока и напряжения в длинной линии не зависят от времени и координаты. Это отношение называют волновым сопротивлением (импедансом):

$$Z(\omega, k) = \frac{U(x, t)}{I(x, t)} = \frac{k + i \alpha}{C_x \omega}.$$

В пределе малых затуханий $\alpha \ll \omega$

$$Z(\omega, k) \approx \frac{k}{C_x \omega} = \frac{1}{C_x V_\phi} = \frac{1}{c} \sqrt{\frac{L_x}{C_x}}.$$

Если в конце такую длинную линию замкнуть на сопротивление

$$R_0 = \frac{1}{c} \sqrt{\frac{L_x}{C_x}},$$

то бегущая вдоль длинной линии волна "будет воспринимать" нагрузку как бесконечное продолжение этой длинной линии. Другими словами, когда длинная линия подключена к нагрузке с сопротивлением R_0 , отражённой волны не возникает. Во всех остальных случаях, когда $R \neq R_0$ (в том числе и в частных случаях незамкнутого конца, когда $R \rightarrow \infty$ и короткозамкнутой линии, когда $R = 0$) возникает отражённая волна, описываемая выражением (сравни с (13)): $U(x, t) = U_0 e^{-i\omega t} e^{-(\alpha + ik)x}$, которое также удовлетворяет решению системы (9). Подставляя (16) в (12) получаем характеристическое уравнение:

$$-\omega^2 - V_\phi^2(-\alpha + ik)^2 - i\omega\gamma = 0.$$

Или, разделяя действительную и мнимую части, приходим к системе:

$$\begin{cases} \omega^2 = V_\phi^2 (k^2 - \alpha^2) \\ 2\alpha k V_\phi^2 = \omega\gamma \end{cases}$$

Из (22) следует (в пределе малых затуханий $\alpha \ll k$):

$$\alpha = \frac{\omega}{V_\phi} \sqrt{\frac{\sqrt{1 + (\gamma/\omega)^2} - 1}{2}} \approx \frac{\omega}{V_\phi} \sqrt{\frac{\gamma^2}{4\omega^2}} = \frac{\gamma}{2V_\phi} = R_x C_x \frac{V_\phi}{2},$$

$$k = \frac{\omega}{V_\phi}.$$

Таким образом, амплитуда напряжения на нагрузке (в конце длинной линии) будет иметь вид:

$$U_\mu(t) = U_0 e^{-\alpha l} e^{i k l} e^{-i \omega t}.$$

При этом амплитуда колебаний на согласованной нагрузке (в конце длинной линии) имеет вид:

$$U_n = U_0 e^{-\alpha d}$$

и набег фазы сигнала на выходе (в конце длинной линии) относительно входного сигнала (в начале длинной линии) будет иметь вид:

$$\Delta\varphi = kl.$$

Так как модуль волнового вектора k прямо пропорционален частоте сигнала ω (см. выражение (24)) следует понимать, что разность фазы $\Delta\varphi$ монотонно увеличивается с увеличением ω .

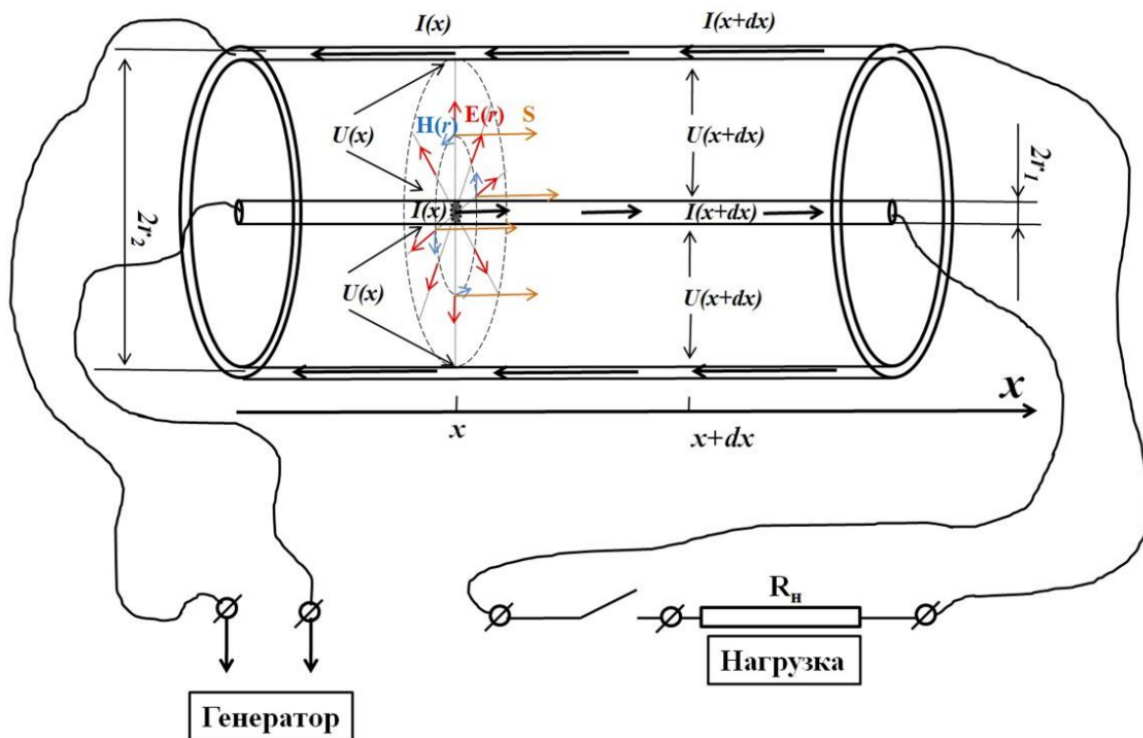
Из (26) и (27) легко экспериментально определить декремент затухания α и волновое число k для различных ω :

$$\alpha(\omega) = \frac{1}{l} \ln \left(\frac{U_0}{U_n} \right),$$

$$k(\omega) = \frac{\Delta\varphi}{l}.$$

Важно! Обратите внимание, что все выражения здесь приведены в СГС.

4 Экспериментальная установка



Соберем данную установку.

5 Измерения, Обработка

5.1 Часть I. Оценка фазовой и групповой скорости

- 1) Согласованная нагрузка имеет сопротивление 50 Ом
- 2) С увеличением частоты амплитуда на выходе падает, меняется сдвиг фазы.

На входе амплитуда не меняется.

- 3) Резонансы наблюдаются на частотах

	ν , МГц
ν_1	3.97
ν_2	7.96
ν_3	11.96
ν_4	15.97
ν_5	19.98
ν_6	23.99
ν_7	28.00

4) Разброс значений от среднего значения 4 МГц не превышает десятка кГц. Таким образом дисперсия отсутствует(не превышает 1%)

Фазовая скорость по теоретической формуле

$$v_{\phi} = \frac{2\pi\Delta\nu}{\frac{2\pi}{k}} = (2 \pm 0.02) \cdot 10^8 \text{ м/с}$$

5) Выставим сопротивление нагрузки 1 МОм(обрыв)

6) Качественно:

Меняется амплитуда обоих сигналов

Фаза меняется быстро при амплитуде входного сигнала около нуля на π .

Сумма амплитуд является инвариантом.

7) Резонансы наблюдаются на частотах

	ν , МГц
ν_1	4.0
ν_2	8.0
ν_3	12.0
ν_4	16.0
ν_5	20.0
ν_6	24.0
ν_7	28.1

8) Разброс значений от среднего значения 4 МГц не превышает десятка кГц. Таким образом дисперсия отсутствует(не превышает 1%)

Фазовая скорость по теоретической формуле

$$v_{\phi} = \frac{2\pi\Delta\nu}{\frac{2\pi}{k}} = (2 \pm 0.02) \cdot 10^8 \text{ м/с}$$

5.2 Прямоугольные импульсы (согласованная линия)

1-3) Выставим сопротивление нагрузки 50 Ом(согласованная нагрузка)

4) Качественно:

По одному входному и выходному импульсу покоятся(свойство развертки)

Остальные сжимаются к ним как к аттрактору при повышении частоты

Амплитуды импульсов не меняются.

5) Резонансы наблюдаются на частотах

	ν , МГц
ν_1	4.01
ν_2	8.02
ν_3	12.03
ν_4	16.04
ν_5	20.05

6) Разброс значений от среднего значения 4 МГц не превышает десятка кГц. Таким образом дисперсия отсутствует(не превышает 1%)

Фазовая скорость по теоретической формуле

$$v_\phi = \frac{2\pi\Delta\nu}{\frac{2\pi}{k}} = (2 \pm 0.02) \cdot 10^8 \text{ м/с}$$

7) Выставим сопротивление нагрузки 1 МОм(обрыв)

8) От входного импульса образуется гаснущая отраженная волна, сдвинутая на π относительно него.

Амплитуды сигналов суммируются.

9) Резонансы наблюдаются на частотах

	ν , МГц
ν_1	4.02
ν_2	8.04
ν_3	12.06
ν_4	16.08
ν_5	20.10

10) Разброс значений от среднего значения 4 МГц не превышает десятка кГц. Таким образом дисперсия отсутствует(не превышает 1%)

Фазовая скорость по теоретической формуле

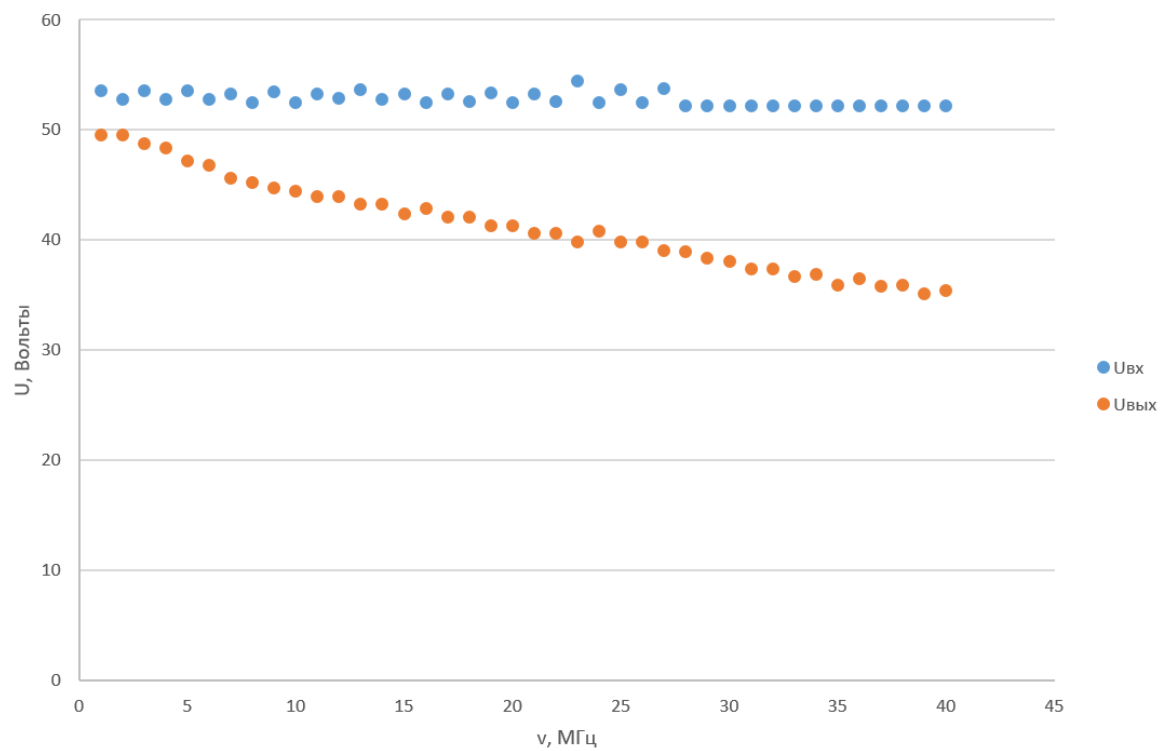
$$v_\phi = \frac{2\pi\Delta\nu}{\frac{2\pi}{k}} = (2 \pm 0.02) \cdot 10^8 \text{ м/с}$$

5.3 Часть II. Амплитудно-частотная и фазово-частотная характеристики

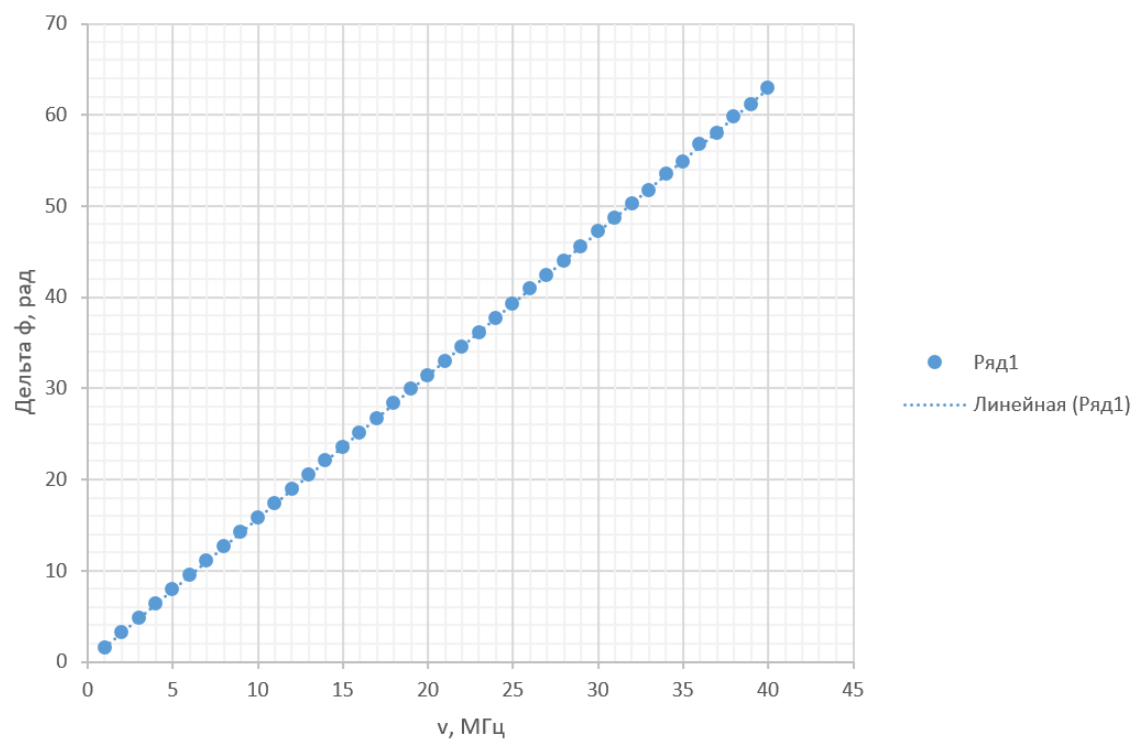
1-4) Выставим сопротивление нагрузки 50 Ом(согласованная нагрузка)

5) Снятые данные приведены в таблицах, построим соответствующие графики

АЧХ



ФЧХ



5.4 Обработка. Часть I. Определение параметров коаксиального кабеля.

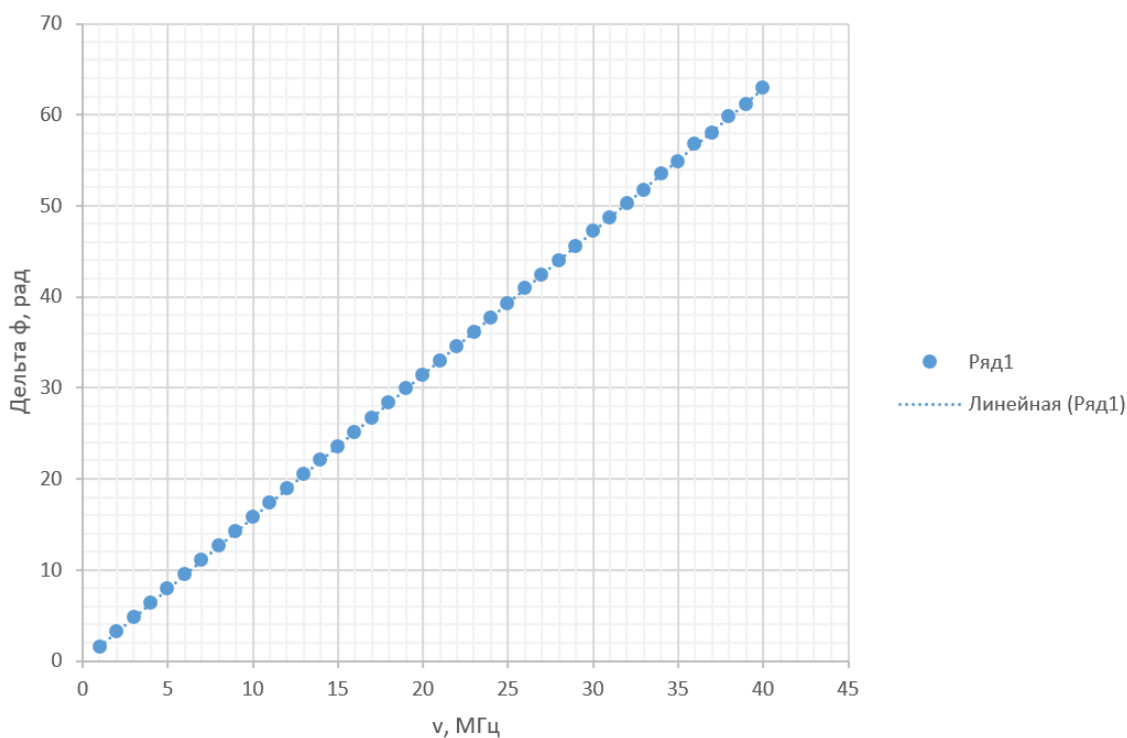
Для определения характеристик коаксиального кабеля первое уравнение системы (22) с учётом (23) удобно переписать следующим образом

$$y_1 = \frac{L_x C_x}{c^2} x_1$$

$$x_1 = \omega^2$$

$$y_1 = k(\omega)^2 - \alpha(\omega)^2$$

Построим график $y(x)$



Найдем угловые коэффициенты прямых для каждой установки по МНК.

$$a = \frac{\langle x_i y_i \rangle - \langle x \rangle \langle y_i \rangle}{\langle x_i^2 \rangle - \langle x_i \rangle^2}$$

$$b = \langle y_i \rangle - a \langle x_i \rangle$$

Также рассчитаем их погрешности

$$S_a^2 = \frac{\langle x_i^2 \rangle}{\langle x_i^2 \rangle - \langle x_i \rangle^2} \cdot \frac{\langle b_i - b \rangle^2}{n - 2}$$

$$y_1 = (3.4 \pm 6.3) \cdot 10^{-8} + (2.4996 \pm 0.0022) \cdot 10^{-21} \cdot x_1$$

Тогда

$$L_x C_x = (2.247 \pm 0.002) [\text{СГС}]$$

Наконец, с учетом $\frac{L_x}{C_x} = 2.5 \cdot 10^{21} [\text{СГС}]$, получим

$$L_x = 2.500 \pm 0.001 \text{ см}$$

$$C_x = 0.89877 \pm 0.0004 \text{ см}$$

Магнитная восприимчивость

$$\mu = \frac{L_x}{2 \ln(r_2/r_1)} = \frac{C}{2 \ln(11/4)} = 1.2357 \pm 0.005$$

Диэлектрическая проницаемость же

$$\epsilon = 2C_x \ln(r_2/r_1) = 1.81839 \pm 0.0008$$

Как видно, значения очень похожи на реальные

5.5 Часть II. Определение удельной проводимости проводников. Метод А

Из (23) и (28) следует:

$$\alpha(\omega) = \frac{1}{l} \ln \left(\frac{U_0}{U_w} \right) = R_x C_x \frac{V_\phi}{2}.$$

Если взять удельную проводимость для меди и подставить в известное выражение для характерной толщины скнн-слоя:

$$\delta = \frac{c}{2\pi\sqrt{\nu\sigma}},$$

то окажется, что даже при минимальной частоте $\nu = 1 \text{ МГц}$ 65 мкм, что примерно в десять раз меньше радиуса центрального проводника (диаметр центральной жилы равен $d = 1,37 \text{ мм}$). При больших частотах характерная толщина скнн-слоя ещё меньше. Поэтому для упрощения будем предполагать, что весь ток сосредоточен в

приповерхностном слое и потери, связанные с джоулевым нагревом описываются следующим выражением:

$$dN = \sigma E_0^2 \int_0^\infty e^{-2\frac{z}{\delta}} dz dx L \Big|_{L=\pi d} = \sigma E_0^2 \cdot dx \cdot \pi d \cdot \frac{\delta}{2} \left(-e^{-2\frac{z}{\delta}} \right) \Big|_0^\infty \frac{\sigma \cdot \pi d}{dx} \cdot \frac{\delta}{2} (dU)^2 = \frac{(dU)^2}{dR},$$

где

$$dR = \frac{dx}{\sigma \cdot \pi d} \cdot \frac{2}{\delta}$$

Погонное сопротивление с учётом скин-эффекта можно определить следующим образом:

$$R_x = \frac{dR}{dx} = \frac{2}{\sigma \cdot \pi d \cdot \delta}.$$

Или, с учётом выражения для характерной толщины скин-слоя (34), имеем:

$$R_x = \frac{4\sqrt{v}}{\sqrt{\sigma} \cdot c \cdot d}.$$

Таким образом, подставляя (38) в (33) приходим к зависимости:

$$\alpha(\omega) = \frac{1}{l} \ln \left(\frac{U_0}{U_\mu} \right) = \frac{4}{\sqrt{\sigma} \cdot d} C_x \frac{V_\phi}{c} \sqrt{v}.$$

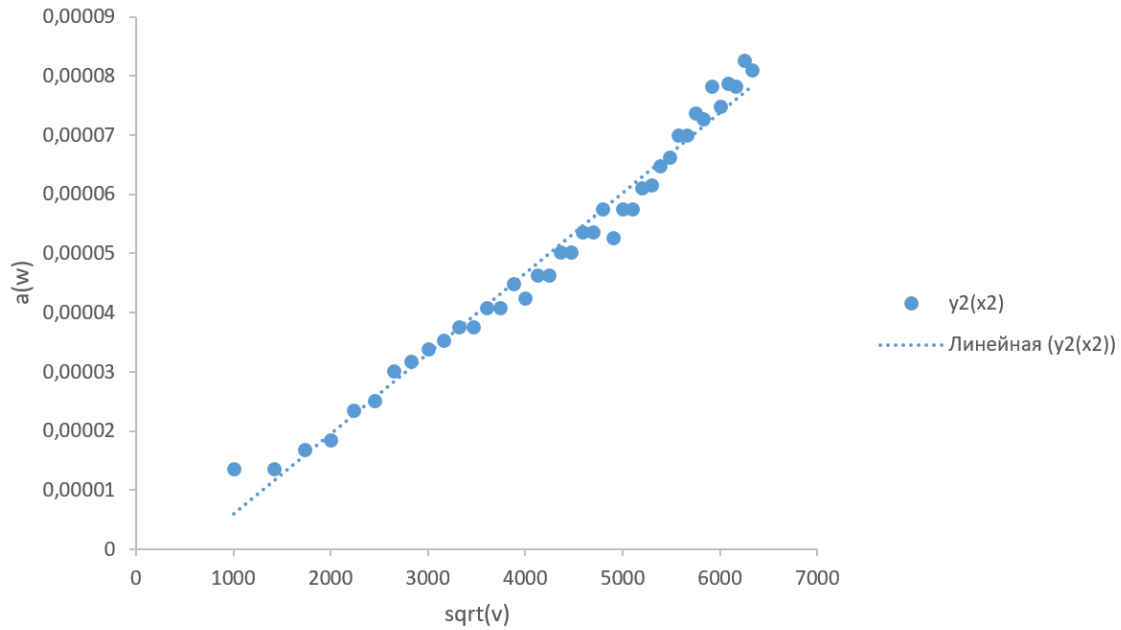
Это выражение можно переписать в следующем виде:

$$y_2 = \frac{4}{\sqrt{\sigma} \cdot d} C_x \frac{V_\phi}{c} x_2,$$

где

$$\begin{aligned} x_2 &= \sqrt{v}, \\ y_2 &= \alpha(\omega). \end{aligned}$$

Построим график $a(\omega)$ от ν



Найдем угловые коэффициенты прямых для каждой установки по МНК.

$$a = \frac{\langle x_i y_i \rangle - \langle x \rangle \langle y_i \rangle}{\langle x_i^2 \rangle - \langle x_i \rangle^2}$$

$$b = \langle v_i \rangle - a \langle N_i \rangle$$

Также рассчитаем их погрешности

$$S_a^2 = \frac{\langle x_i^2 \rangle}{\langle x_i^2 \rangle - \langle x_i \rangle^2} \cdot \frac{\langle b_i - b \rangle^2}{n - 2}$$

$$y_1 = (-7.6 \pm 1.4) \cdot 10^{-6} + (1.358 \pm 0.031) \cdot 10^{-8} \cdot x$$

По наклону прямой на графике, можно определить удельную проводимость σ

$$\sigma = \left(\frac{4C_x V_\phi}{c \cdot d \cdot (\Delta y_2 / \Delta x_2)} \right)^2 = (1.66 \pm 0.08) \cdot 10^{18} \text{ [СГС]}$$

Значение проводимости близко к табличному значению ($1.54 \cdot 10^{18}$)

5.6 Метод Б

Подставив выражение для γ из (14) во второе уравнение системы (22) и сокращая на квадрат скорости V_ϕ^2 легко прийти к выражению:

$$2\alpha k = \omega R_x C_x.$$

(44) Зная амплитуду колебаний и сдвиг фазы в конце длинной линии относительно входного сигнала экспериментально можно определить как $\alpha(\omega)$, так и $k(\omega)$ (см., например, выражения (28) и (29)). Таким образом, выражение (44) можно представить в следующем виде:

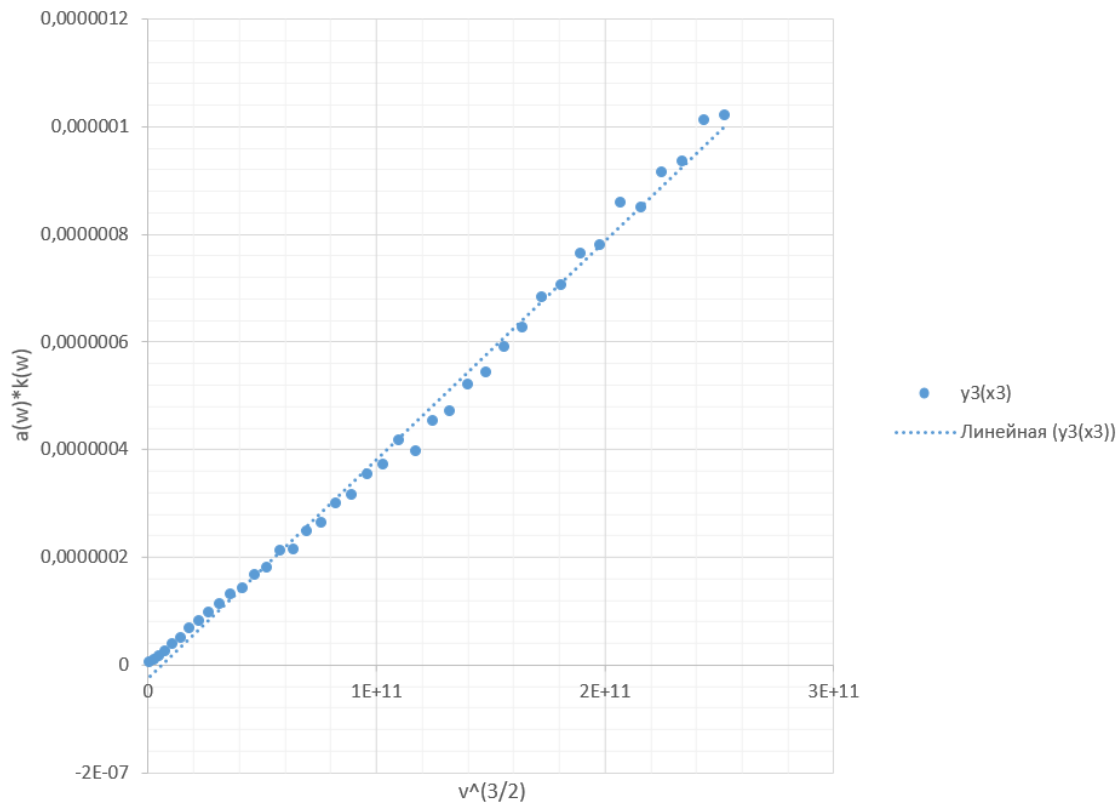
$$y_3 = \frac{4\pi \cdot C_x}{\sqrt{\sigma} \cdot d \cdot c} x_3,$$

где

$$x_3 = v^{3/2},$$

$$y_3 = \alpha(\omega) \cdot k(\omega) = \frac{1}{l} \ln \left(\frac{U_0}{U_n} \right) \cdot \frac{\Delta \varphi}{l}.$$

Построим зависимость y_3 от x_3 .



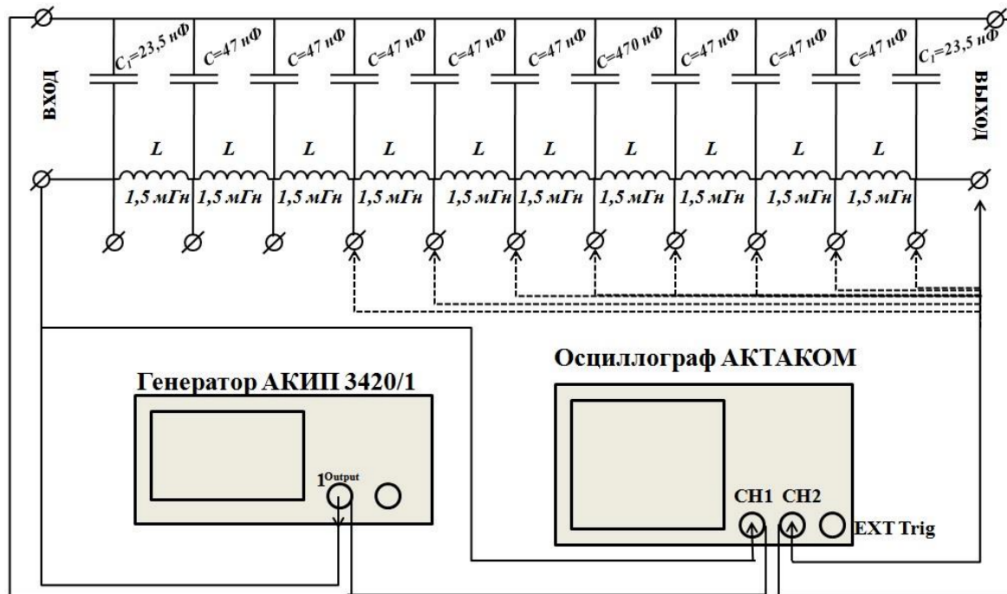
$$y_3 = (-2.57 \pm 0.6) \cdot 10^{-8} + (4.058 \pm 0.046) \cdot 10^{-18} \cdot x$$

По наклону, полученной прямой определим удельную проводимость σ

$$\sigma = \left(\frac{4\pi \cdot C_x}{d \cdot c (\Delta y_3 / \Delta x_3)} \right)^2 = 1.84 \pm 0.04 \cdot 10^{18} \text{ [СГС]}$$

5.7 Длинная линия. Модель

1) Соберем схему как на рисунке



Придельная частота распространения сигнала для установки

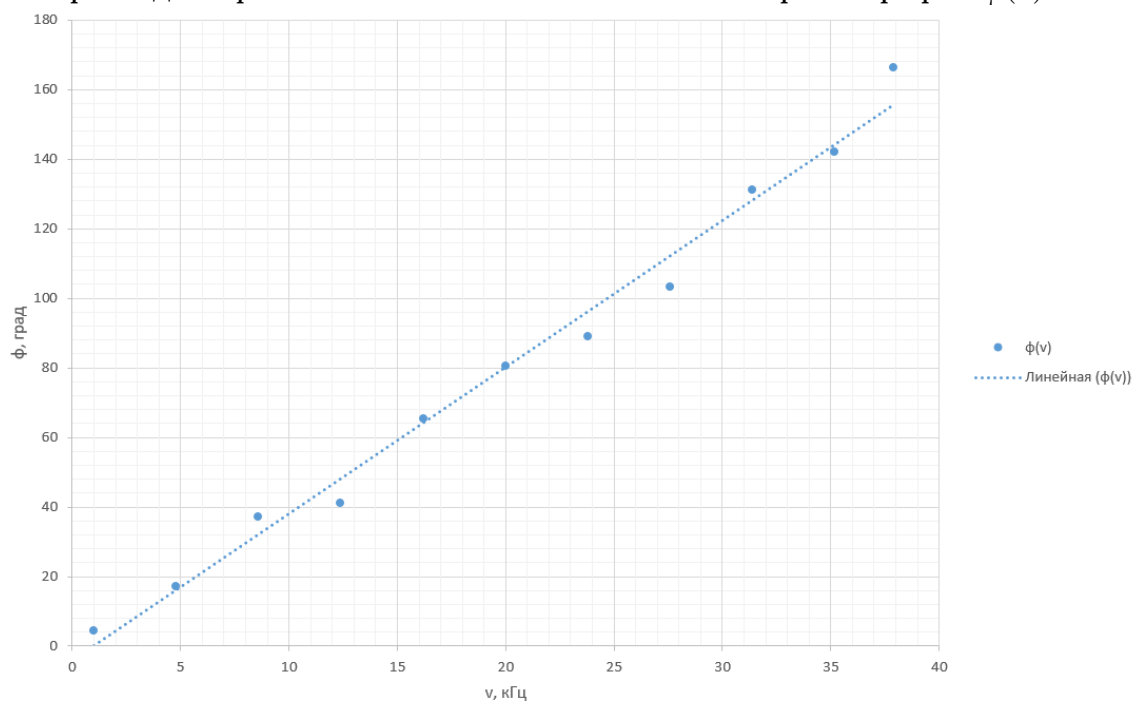
$$\nu_0 = \frac{1}{\pi \sqrt{LC}} = 37.9 \text{ кГц}$$

Согласованная нагрузка для цепи

$$R_0 = \sqrt{\frac{L}{C}} = 178.6 \text{ Ом}$$

2) Убедимся, что согласующее сопротивление подходящее

3, 7) Замерим сдвиг фаз в зависимости от частоты и построим график $\phi(\nu)$.



Линейная зависимость полностью согласуется с теорией

$$\Delta\phi = \frac{2\pi\nu l}{v_\phi}$$

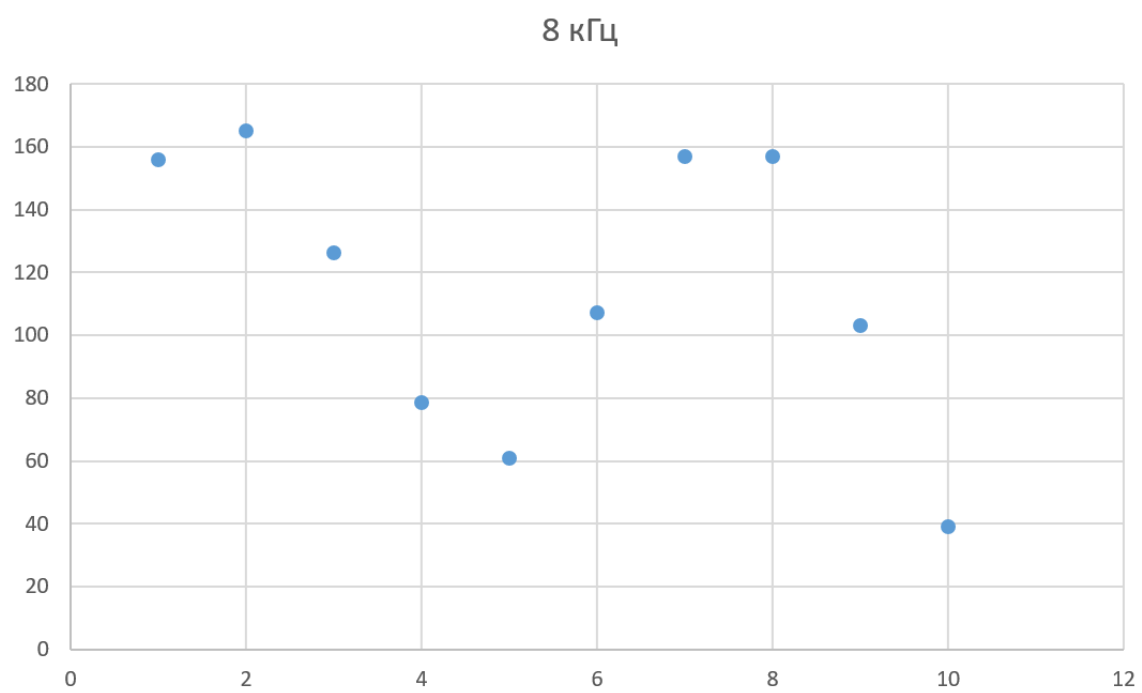
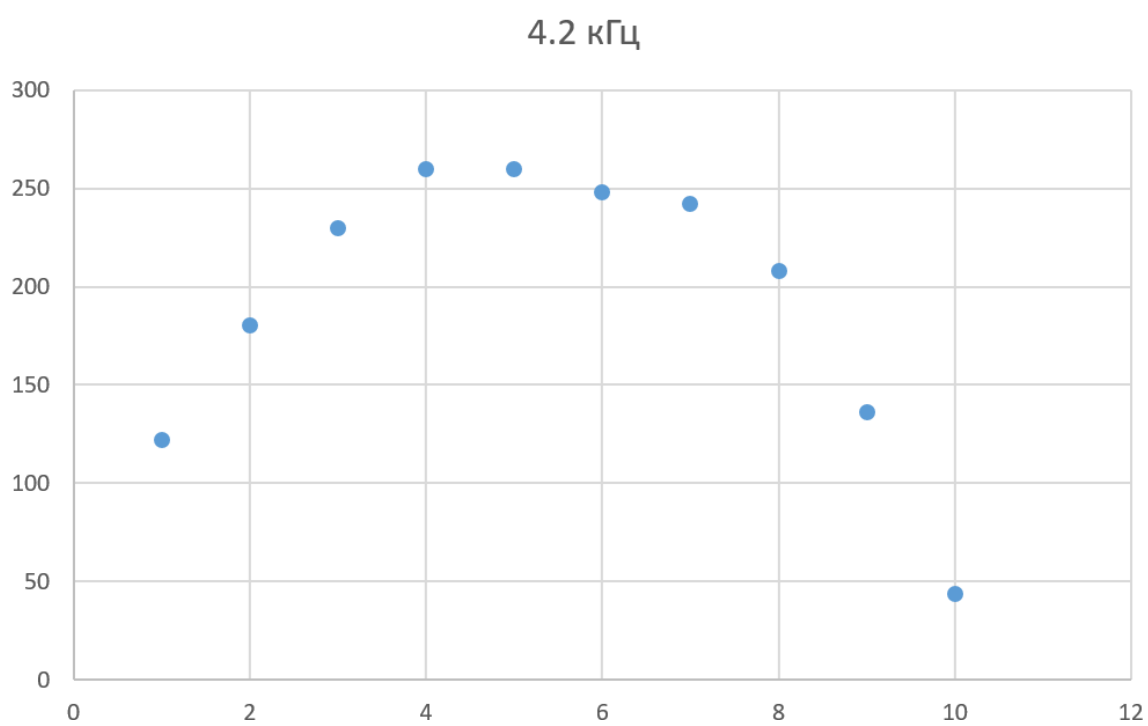
4) Таблица резонансных частот при согласованной нагрузке

	ν , кГц
ν_1	4.2
ν_2	8.0
ν_3	13.0
ν_4	17.7
ν_5	21.2
ν_6	25.8

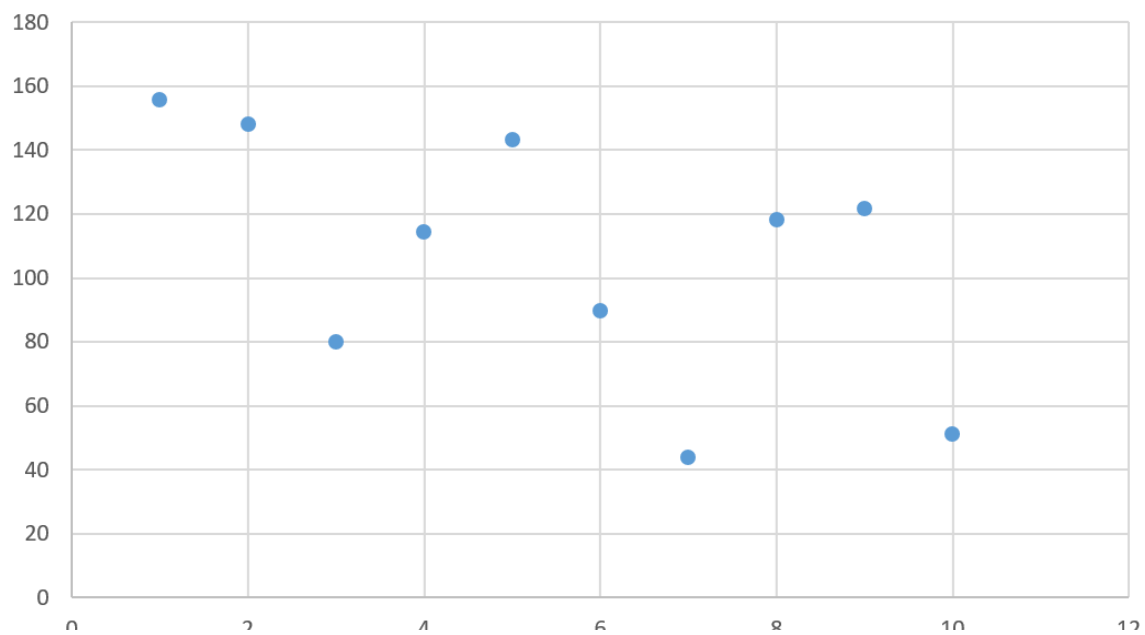
При разрыве цепи же

	ν , кГц
ν_1	5.4
ν_2	7.8
ν_3	9.7
ν_4	14.6
ν_5	19.0
ν_6	23.3
ν_7	26.9

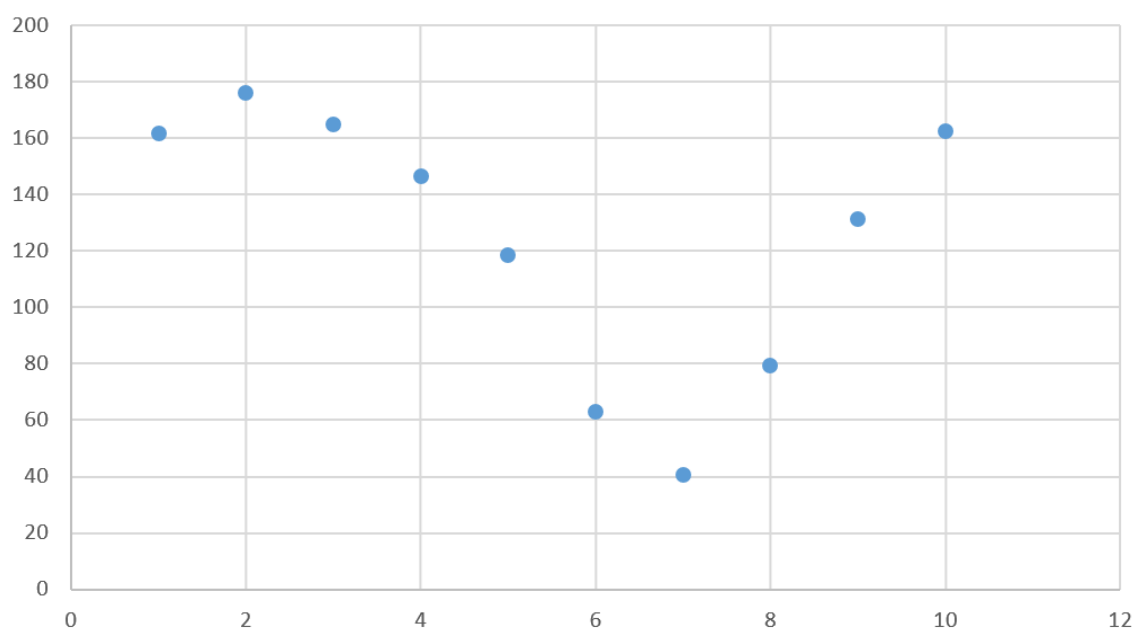
5) Построим соответствующие графики



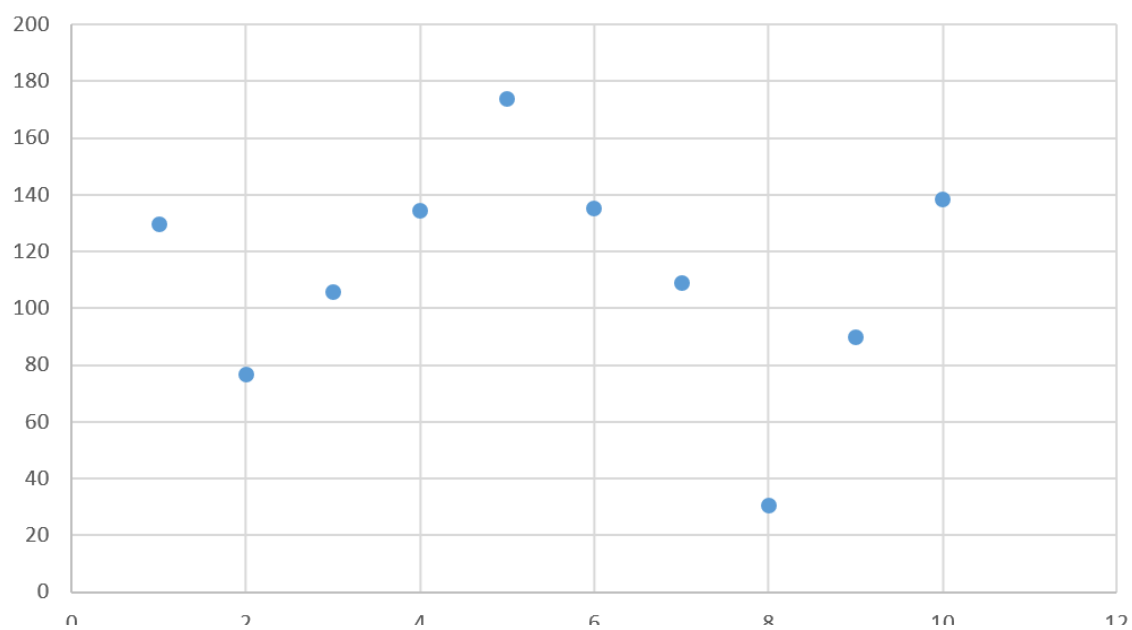
13 κГц



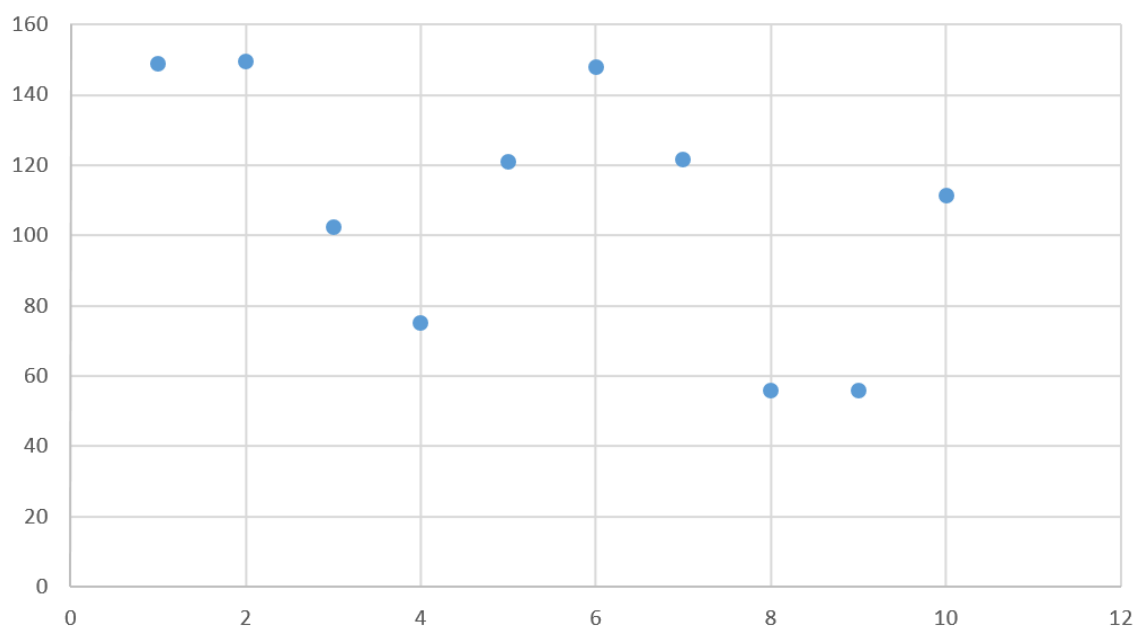
5.4 κГц



7.8 кГц



9.7 кГц



На графиках можно наблюдать пространственное распределение амплитуды колебаний точек волны, соответствующее стоячей волне в цепи. Диаграммы обрыва цепи сдвинуты на π по фазе относительно согласованной нагрузки. На графиках хорошо прослеживается синусоидальная форма сигнала.

6 Вывод

Лабораторная работа фактически подтвердила применимость волнового уравнения для систем различного сорта, с достаточно высокой точностью.

7 Ресурсы

Расчет по МНК: метод-наименьших-квадратов.рф